

ОБЪЕДИНЕННЫЙ ИНСТИТУТ ЯДЕРНЫХ ИССЛЕДОВАНИЙ

Лаборатория теоретической физики

ФИЗИКО-ТЕХНИЧЕСКИЙ ИНСТИТУТ АН СССР

ВЫЧИСЛИТЕЛЬНЫЙ ЦЕНТР АН СССР

Р - 397

В.Б. Беляев, С.С. Герштейн, Б.Н. Захарьев, С.П. Ломнев

ЛЯП

Л.И. Лапидусу

$\mu^-$  - МЕЗОМОЛЕКУЛЯРНЫЕ ПРОЦЕССЫ  
В ВОДОРОДЕ

Дубна 1959 год

P - 397

В.Б. Беляев, С.С. Герштейн, Б.Н. Захарьев, С.П. Ломнев

*m* - МЕЗОМОЛЕКУЛЯРНЫЕ ПРОЦЕССЫ  
В ВОДОРОДЕ

### Аннотация

Рассмотрен ряд мезоатомных и мезомолекулярных процессов в среде изотопов водорода /образование мезомолекул:  $H_m^{(0)} + H^{(1)} \rightarrow (H^0 H^1)_m$  ; упругие столкновения и перезарядка мёзоатомов:  $H_m^{(0)} + H^{(1)} \rightarrow H_m^{(0)} + H^{(2)}$  ;  $H_m^{(0)} + H^{(1)} \rightarrow H^0 + H_m^{(1)}$  /. Определены уровни мезомолекул. Вычисления производились на электронной машине БЭСМ с учетом поправок порядка  $m/M$  на движение ядер.

Особенностью мезоатомов водорода является их нейтральность, поскольку на расстояниях, больших боровской орбиты мезоатома  $2,56 \cdot 10^{-11}$  см, заряд ядра почти полностью экранируется зарядом мезона. Это обстоятельство обуславливает ряд мезомолекулярных процессов, происходящих с  $\mu^-$ -мезонами в водороде /или в смеси изотопов водорода/, таких, как обмен  $\mu^-$ -мезоном между различными ядрами /перезарядка/, образование мезомолекул водорода и т.д. Эти процессы во многом определяют катализ ядерных реакций в водороде, предсказанный Франком<sup>/1/</sup>, Зельдовичем<sup>/2/</sup> и Сахаровым<sup>/3/</sup> и экспериментально исследованный в работах<sup>/4,5/</sup>. С другой стороны, как отмечено в<sup>/6-8/</sup>, мезомолекулярные процессы в водороде весьма существенны для возможности экспериментального определения закона взаимодействия  $\mu^- + p \rightarrow \pi^+ + \nu$  /в частности, для возможности экспериментально различать  $V-A$  и  $V+A$  варианты<sup>/8/</sup>.

Некоторые  $\mu^-$  мезомолекулярные процессы в водороде рассматривались в более ранних работах.

В работе<sup>/11/</sup> вычислены уровни мезомолекулярных ионов  $(pp)_\mu^-$ ;  $(pd)_\mu^-$ ;  $(dd)_\mu^-$  и сечения процессов  $d_\mu^- + p \rightarrow d_\mu^- + p$ ;  $p_\mu^- + p \rightarrow (pp)_\mu^-$ ;  $d_\mu^- + p \rightarrow (dp)_\mu^-$ . Большое расхождение с нашими результатами имеется для верхнего уровня  $(dd)_\mu^-$  с  $L=0$ . Сечение рассеяния  $d_\mu^-$  на  $p$  у нас не стремится к нулю с энергией.

В<sup>/12/</sup> вычислялась вероятность перезарядки  $p_\mu^- + d \rightarrow d_\mu^- + p$  методом, аналогичным изложенному в настоящей работе. Однако для потенциалов  $E_g$  и  $E_u$  и для поправок  $K_{gg}$  и  $K_{uu}$  были взяты более грубые функции, чем приведенные в<sup>/14/, /15/</sup>. Кроме того авторы<sup>/12/</sup> предполагали, что при  $R \geq 8$  решения системы выходят на асимптотику, что не вполне корректно /см. таблицу волновых функций/.

В работе<sup>/18/</sup> вычислены основные уровни в мезомолекулярных ионах. При этом не учитывались поправки порядка  $m/\mu$  к потенциальной энергии. Кроме того нахождение собственных значений для молекул с разными ядрами требует решения системы из двух уравнений /ввиду наличия дипольного момента, осуществляющего переходы между состояниями  $H$  и  $\Psi$ . В<sup>20</sup> определяются уровни в  $(pp)_\mu^-$ ;  $(pd)_\mu^-$ ;  $(dd)_\mu^-$  без учета поправок на движение

ядер. Уравнение для мезонной функции менее точно чем <sup>14/</sup>.

В работе <sup>19/</sup> даны оценки основных уравнений мезомолекулярных ионов и вероятностей реакций  $d + p_m \rightarrow d_m + p$ ;  $d_m + p \rightarrow (pd)_m$ .

Рассмотрим систему, состоящую из ядер изотопов водорода с массами  $M_1$  и  $M_2$  и  $\mu^-$ -мезона. Пусть  $\vec{z}$ ,  $\vec{R}_1$ ,  $\vec{R}_2$  - координаты  $\mu^-$ -мезона и ядер <sup>x/</sup>. Гамильтониан системы в пренебрежении спиновыми взаимодействиями имеет вид:

$$\hat{H} = -\frac{1}{2} \Delta \vec{z} - \frac{1}{2M_1} \Delta \vec{R}_1 - \frac{1}{2M_2} \Delta \vec{R}_2 - \frac{1}{z_1} - \frac{1}{z_2} + \frac{1}{R}, \quad /1/$$

где

$$z_1 = |\vec{z} - \vec{R}_1|; \quad z_2 = |\vec{z} - \vec{R}_2|; \quad R = |\vec{R}_2 - \vec{R}_1|.$$

Считая, что  $\mu^-$ -мезон находится на К-орбите, будем искать волновую функцию системы в виде:

$$\Psi = \psi(\vec{R}) \sum_g (\vec{R}, \vec{z}) + H(\vec{R}) \sum_u (\vec{R}, \vec{z}), \quad /2/$$

где  $\psi(\vec{R})$  и  $H(\vec{R})$  описывают относительное движение ядер, а  $\sum_g$  и  $\sum_u$  представляют волновые функции  $\mu^-$ -мезона в поле неподвижных ядер, находящихся друг от друга на расстоянии  $R$  <sup>xx/</sup>. При  $R \rightarrow \infty$

$$\sum_g \rightarrow \frac{1}{\sqrt{2\pi}} (e^{-z_1} + e^{-z_2}); \quad \sum_u \rightarrow \frac{1}{\sqrt{2\pi}} (e^{-z_1} - e^{-z_2}), \quad /3/$$

а при  $R \rightarrow 0$   $\sum_g$  и  $\sum_u$  переходят соответственно в волновые функции  $1s$  и  $2p$  состояния иона  $He$ .

Подставляя /2/ в уравнение Шредингера

$$\hat{H}\Psi = E\Psi \quad /4/$$

<sup>x/</sup> В дальнейшем мы будем пользоваться мезоатомными единицами  $\hbar = 1$ ,  $e = 1$ ,  $m_\mu = 207 m_e = 1$ . Мезоатомная единица длины  $\frac{\hbar}{m_\mu e^2} = 2,56 \cdot 10^{-11} \text{ см}$ ,

<sup>xx/</sup> Отметим, что поскольку волновая функция (2) зависит от разностей координат частиц в выбранной нами системе координат, центр тяжести системы покойится.

и учитывая, что волновые функции  $\sum_g$  и  $\sum_u$  удовлетворяют уравнению:

$$\left( -\frac{1}{2} \Delta_{\vec{z}} - \frac{1}{z_1} - \frac{1}{z_2} + \frac{1}{R} \right) \sum_i = E_i(R) \sum_i(R, \vec{z}) \quad i=g, u \quad 15/$$

получим после умножения на  $\sum_g$  и  $\sum_u$  и интегрирования по координатам  $\vec{m}$  - мезона систему уравнений для  $\Psi(\vec{R})$  и  $H(\vec{R})$ :

$$-\frac{1}{2M_{12}} \Delta_{\vec{R}} \Psi + (E_g + \frac{1}{2M_{12}} K_{gg}) \Psi + \frac{1}{2M_{12}} K_{gu} H - \frac{1}{M_{12}} \vec{Q}_{gu} \vec{\nabla}_{\vec{R}} H = E \Psi \quad 16/$$

$$-\frac{1}{2M_{12}} \Delta_{\vec{R}} H + (E_u + \frac{1}{2M_{12}} K_{uu}) H + \frac{1}{2M_{12}} K_{ug} \Psi - \frac{1}{M_{12}} \vec{Q}_{ug} \vec{\nabla}_{\vec{R}} \Psi = E H \quad 17/$$

где  $\frac{1}{M_{12}} = \frac{1}{M_1} + \frac{1}{M_2}$ ;  $R = R_2 - R_1$ , а величина  $\frac{1}{2M_{12}} K_{ij}$ ;  $\frac{1}{M_{12}} \vec{Q}_{ij}$  является матричными элементами между функциями  $\sum_g$  и  $\sum_u$  от операторов

$$\frac{1}{2M_{12}} \hat{K} = -\frac{1}{2} \left( \frac{1}{M_1} \Delta_{\vec{R}_1} + \frac{1}{M_2} \Delta_{\vec{R}_2} \right) \quad 17/$$

$$\frac{1}{M_{12}} \hat{Q} = \left( -\frac{1}{M_1} \vec{\nabla}_{\vec{R}_1} + \frac{1}{M_2} \vec{\nabla}_{\vec{R}_2} \right). \quad 18/$$

Легко показать, что в силу условий нормировки  $\sum_g$  и  $\sum_u$  диагональные матричные элементы оператора  $\hat{Q}$  равны нулю, а недиагональные ввиду ортогональности  $\sum_g$  и  $\sum_u$  противоположны по знаку:

$$\vec{Q}_{gu} = -\vec{Q}_{ug} = \vec{Q}. \quad 19/$$

Если пользоваться свойствами симметрии  $\sum_g$  и  $\sum_u$  относительно перестановки ядер, то можно выделить в матричных элементах зависимость от масс:

$$K_{ii} = \int \sum_i (-\Delta_{\vec{R}_i}) \sum_i d\tau \quad i=g, u \quad 10/$$

$$K_{ij} = \frac{M_2 - M_1}{M_2 + M_1} \int \sum_i (-\Delta_{\vec{R}_i}) \sum_j d\tau \quad /11/$$

$$\vec{Q} = \frac{M_2 - M_1}{M_2 + M_1} \int \sum_g (-\vec{\nabla}_{\vec{R}_g}) \sum_u d\tau = Q \frac{\vec{R}}{R} \quad /12/$$

Таким образом в случае одинаковых ядер  $M_1 = M_2$  система уравнений /6/ распадается на два независимых уравнения. Этот результат вполне понятен, так как волновая функция /2/ для одинаковых ядер в силу симметрии может включать в себя только один член /либо  $\sum_g$ , либо  $\sum_u$ / . Члены  $\frac{1}{2M_{12}} K_{ij}(R)$ ;  $\frac{1}{M_{12}} Q(R)$  представляют собой поправки к адиабатическим потенциалам, учитывающие с точностью первого порядка по  $m_p/M_{12}$  движение ядер. Поскольку для мезона отношение  $m_p/M_{12}$  не столь мало, как для электрона, указанные члены вносят существенный вклад. При  $R \rightarrow \infty; Q \rightarrow 0$ , а члены  $\frac{1}{2M_{12}} K_{ij}(\infty)$  представляют поправки с точностью  $(m_p/M_1)^2; (m_p/M_2)^2$  учитывающие приведенные массы изолированных мезоатомов. Действительно, заметив, что энергия изолированных мезоатомов /в мезоатомных единицах/

$$E_1^o = -\frac{1}{2} \frac{M_1}{M_1 + 1} \approx -\frac{1}{2} + \frac{1}{2M_1} \quad /13/$$

$$E_2^o = -\frac{1}{2} \frac{M_2}{M_2 + 1} \approx -\frac{1}{2} + \frac{1}{2M_2} ;$$

и учитывая, что матричные элементы оператора  $(-\Delta_{\vec{R}_i})$  при  $R \rightarrow \infty$  равны 1/2 /см. Приложение/, можно записать:

$$\left\{ E_g(\infty) + \frac{1}{2M_{12}} K_{gg}(\infty) \right\} = \left\{ E_u(\infty) + \frac{1}{2M_{12}} K_{uu}(\infty) \right\} = \frac{1}{2} (E_1^o + E_2^o) \quad /14/$$

$$\frac{1}{2M_{12}} K_{gu}(\infty) = \frac{1}{2M_{12}} K_{ug}(\infty) = \frac{1}{2} (E_1^o - E_2^o) = \frac{1}{2} \Delta E. \quad /15/$$

Выделяя в величинах  $E_g(R); E_u(R)$  и  $\frac{1}{2M_{12}} K_{ij}(R)$  их значения при

$\mathcal{R} = \infty$ :

$$E_{g,u}(\mathcal{R}) = E_{g,u}(\infty) + E'_{g,u}(\mathcal{R})$$

/16/

$$K_{ij}(\mathcal{R}) = K_{ij}(\infty) + K'_{ij}(\mathcal{R}),$$

перепишем систему уравнений /6/ в виде

$$-\frac{1}{2M_{12}} \Delta_{\vec{R}} \Psi + (E'_g + \frac{1}{2M_{12}} K'_{gg}) \Psi + (\frac{1}{2} \Delta E + \frac{1}{2M_{12}} K'_{gu}) H - \frac{1}{M_{12}} Q \frac{dH}{d\mathcal{R}} = E' \Psi;$$

$$-\frac{1}{2M_{12}} \Delta_{\vec{R}} H + (E'_u + \frac{1}{2M_{12}} K'_{uu}) H + (\frac{1}{2} \Delta E + \frac{1}{2M_{12}} K'_{ug}) \Psi + \frac{1}{M_{12}} Q \frac{d\Psi}{d\mathcal{R}} = E' H;$$

где  $\Delta E = E_1^{\circ} - E_2^{\circ}$ , а энергия  $E'$  отсчитывается от средних уровней изолированных мезоатомов:

$$E' = E - \frac{1}{2}(E_1^{\circ} + E_2^{\circ}).$$

В случае одинаковых ядер  $E'$  отсчитывается просто от уровня изолированного мезоатома.

Выделяя угловую зависимость  $\Psi(\vec{R})$  и  $H(\vec{R})$ :

$$\Psi_l(\vec{R}) = \frac{1}{\pi} g_L(\mathcal{R}) Y_{L,M_L}(\theta, \varphi);$$

$$H_L(\vec{R}) = \frac{1}{\pi} h_L(\mathcal{R}) Y_{L,M_L}(\theta, \varphi);$$

/18/

где  $Y_{L,M_L}(\theta, \varphi)$  — сферическая функция, получим для  $g(\mathcal{R})$  и  $h(\mathcal{R})$  уравнения:

$$-\frac{1}{2M_{12}} \frac{d^2 g_L}{d\mathcal{R}^2} + (E'_g + \frac{1}{2M_{12}} K'_{gg} + \frac{L(L+1)}{2M_{12}\mathcal{R}^2}) g_L + (\frac{1}{2} \Delta E + \frac{1}{2M_{12}} K'_{gu}) h_L - \frac{1}{M_{12}} Q \mathcal{R} \frac{d}{d\mathcal{R}} \left( \frac{h_L}{\mathcal{R}} \right) = E' g_L$$

$$-\frac{1}{2M_{12}} \frac{d^2 h_L}{d\mathcal{R}^2} + (E'_u + \frac{1}{2M_{12}} K'_{uu} + \frac{L(L+1)}{2M_{12}\mathcal{R}^2}) h_L + (\frac{1}{2} \Delta E + \frac{1}{2M_{12}} K'_{ug}) g_L + \frac{1}{M_{12}} Q \mathcal{R} \frac{d}{d\mathcal{R}} \left( \frac{g_L}{\mathcal{R}} \right) = E' h_L$$

/19/

Потенциалы  $E_g(\mathcal{R})$  и  $E_u(\mathcal{R})$  определялись путем решения уравнений /5/ многими авторами, начиная с работы<sup>/17/</sup>. В настоящей работе использованы значения  $E_g(\mathcal{R})$  и  $E_u(\mathcal{R})$ , взятые из работы<sup>/14/</sup>. Значения функций  $K'_{gg}(\mathcal{R})$  и  $K'_{uu}(\mathcal{R})$  могут быть получены пересчетом из<sup>/15/</sup>, а значения  $Q(\mathcal{R})$ ,  $K'_{ug}(\mathcal{R})$ ,  $K'_{gu}(\mathcal{R})$  вычислены в приближении "соединенного атома" (УА) и "линейной комбинации атомных орбит" (ЛКО) соответственно для малых и больших значений  $\mathcal{R}$  /подробнее см. Дополнение/. Для исследования асимптотического поведения решения при  $\mathcal{R} \rightarrow \infty$  удобно ввести функции

$$a_L(\mathcal{R}) = \left\{ g_L + h_L \right\} / \sqrt{2} ; \quad b_L(\mathcal{R}) = \left\{ g_L(\mathcal{R}) - h_L(\mathcal{R}) \right\} / \sqrt{2}. \quad /20/$$

Сравнивая /21/ и /31/, легко заметить, что функции  $a(\mathcal{R})$  и  $b(\mathcal{R})$  при  $\mathcal{R} \rightarrow \infty$  описывают соответственно радиальное движение ядра с массой  $M_2$  относительно мезоатома  $M_1$  и ядра с массой  $M_1$  относительно мезоатома с массой  $M_2$ .

Функции /20/ удовлетворяют уравнениям:

$$-\frac{1}{2M_{12}} \frac{d^2 a_L}{d\mathcal{R}^2} + \left\{ \frac{1}{2} \left[ \left( E'_g + \frac{1}{2M_{12}} K'_{gg} \right) + \left( E'_u + \frac{1}{2M_{12}} K'_{uu} \right) \right] + \frac{1}{4M_{12}} (K'_{gu} + K'_{ug}) + \frac{L(L+1)}{2M_{12}\mathcal{R}^2} + \frac{\Delta E}{2} \right\} a_L + \left\{ \frac{1}{2} \left[ \left( E'_g + \frac{1}{2M_{12}} K'_{gg} \right) - \left( E'_u + \frac{1}{2M_{12}} K'_{uu} \right) \right] - \frac{1}{4M_{12}} (K'_{gu} - K'_{ug}) \right\} b_L + \frac{Q\mathcal{R}}{M_{12}} \frac{d}{d\mathcal{R}} \left( \frac{b_L}{\mathcal{R}} \right) = E' a_L; \quad /21a/$$

$$-\frac{1}{2M_{12}} \frac{d^2 b_L}{d\mathcal{R}^2} + \left\{ \frac{1}{2} \left[ \left( E'_g + \frac{K'_{gg}}{2M_{12}} \right) + \left( E'_u + \frac{K'_{uu}}{2M_{12}} \right) \right] - \frac{1}{4M_{12}} (K'_{gu} - K'_{ug}) + \frac{L(L+1)}{2M_{12}\mathcal{R}^2} - \frac{\Delta E}{2} \right\} b_L + \quad /21b/$$

$$+ \left\{ \frac{1}{2} \left[ \left( E'_g + \frac{K'_{gg}}{2M_{12}} \right) - \left( E'_u + \frac{K'_{uu}}{2M_{12}} \right) \right] + \frac{1}{4M_{12}} (K'_{gu} - K'_{ug}) \right\} a_L - \frac{Q\mathcal{R}}{M_{12}} \frac{d}{d\mathcal{R}} \left( \frac{a_L}{\mathcal{R}} \right) = E' b_L;$$

и граничному условию при  $\mathcal{R}=0$

$$a(0) = b(0) = 0 \quad /22/$$

Уравнения /21/ при  $R \rightarrow \infty$  имеют вид:

$$\begin{aligned} -\frac{1}{2M_{12}} \frac{d^2\alpha}{dR^2} &= (E' - \frac{1}{2}\Delta E)\alpha; \\ -\frac{1}{2M_{12}} \frac{d^2\beta}{dR^2} &= (E' + \frac{1}{2}\Delta E)\beta. \end{aligned} \quad /23/$$

Пусть для определенности  $M_1 \leq M_2$ , так что  $\Delta E > 0$ . Тогда в зависимости от  $E'$  возможны три типа движений.

а)  $E' > \frac{1}{2}\Delta E$ , т.е. энергия лежит выше  $K$ -уровня более легкого мезоатома. Мезон может находиться как у ядра  $M_2$ , так и у ядра  $M_1$ . Если первоначально мезон находился у ядра  $M_1$  и происходит перезарядка к ядру  $M_2$ , то волновые функции необходимо подчинить условию, заключающемуся в том, что  $\beta(k)$  при  $R \rightarrow \infty$  должно содержать только расходящуюся волну

$$\alpha(R) \approx C_1 e^{ik_1 R} + C_2 e^{-ik_1 R}; \quad /24/$$

$$\beta(R) \approx C_3 e^{ik_2 R} + C_4 e^{-ik_2 R}; \quad /25/$$

где  $C_4 = 0$ ;  $k_1^2 = 2M_{12}(E' - \frac{\Delta E}{2})$ ;  $k_2^2 = 2M_{12}(E' + \frac{\Delta E}{2})$ .

в)  $-\frac{1}{2}\Delta E \leq E' \leq \frac{1}{2}\Delta E$  т.е. энергия заключена в промежутке между изолированными мезоатомами. При  $R \rightarrow \infty$  мезон не может по энергетическим причинам находиться у более легкого ядра. Этот случай соответствует рассеянию мезоатома с ядром  $M_2$  на ядре  $M_1$ , без возможности перезарядки. Волновые функции должны быть подчинены условию, согласно которому функция  $\alpha(R)$  при  $R \rightarrow \infty$  не должна содержать экспоненциально растущий член

$$\alpha(R) \approx D_1 e^{ix_1 R} + D_2 e^{-ix_1 R} \quad /26/$$

$$\beta(R) \approx D_3 e^{-ix_2 R} + D_4 e^{ix_2 R} \quad /27/$$

з)  $D_2 = 0$ ;  $x_1^2 = -k_1^2 = 2M_{12}(E' - \frac{1}{2}\Delta E)$ .

Очевидно, что условия /22/ и /28/ точно также, как и условия /22/ и /24// могут быть удовлетворены при любой энергии, взятой из рассматриваемой области энергий, и с точностью до нормировки определяют решение системы уравнений /21/.

с)  $E' < -\frac{1}{2} \Delta E$  является областью дискретного спектра, соответствующего связанным состояниями мезомолекул. При  $\mathcal{R} \rightarrow \infty$  на решение системы накладывается два условия: отсутствие растущих экспонент в обоих функциях  $a(\mathcal{R})$  и  $b(\mathcal{R})$ :

$$a(\mathcal{R}) = F_1 e^{-x_1 \mathcal{R}} + F_2 e^{x_2 \mathcal{R}} \quad /28/$$

$$b(\mathcal{R}) \approx F_3 e^{-x_1 \mathcal{R}} + F_4 e^{x_2 \mathcal{R}},$$

где,  $F_2(E') = 0$ ;  $F_4(E') = 0$

$$x_1^2 = 2M_{12} (|E'| + \frac{1}{2} \Delta E); \quad x_2^2 = 2M_{12} (|E'| - \frac{1}{2} \Delta E). \quad /29/$$

Условиям /28/ и /22/ возможно удовлетворить только при определенных значениях  $E'$ , являющихся энергетическими уровнями мезомолекулы. Для нахождения решений, удовлетворяющих условиям /22/ при  $\mathcal{R} = 0$  и асимптотическим условиям типа /24/, /26/ или /28/ при  $\mathcal{R} \rightarrow \infty$  можно поступить следующим образом: найти два линейно независимых решения, удовлетворяющих условию /22/ и построить из них линейную комбинацию, удовлетворяющую асимптотическим условиям при  $\mathcal{R} \rightarrow \infty$ . Заметим, что между любыми двумя решениями системы линейных уравнений 2-го порядка /16/ существует связь, которую легко установить, заметив, что

$$K'_{gu} - K'_{ug} = -2 \operatorname{div} \vec{Q}. \quad /30/$$

Действительно, если  $\{\Psi_1; H_1\}$  и  $\{\Psi_2; H_2\}$  решения системы /16/, то

$$\operatorname{div} \left\{ \left( \Psi_2 \vec{\nabla} \Psi_1 - \Psi_1 \vec{\nabla} \Psi_2 \right) + \left( H_2 \vec{\nabla} H_1 - H_1 \vec{\nabla} H_2 \right) + 2\vec{Q}(H_1 \Psi_2 - H_2 \Psi_1) \right\} = 0 / 31 /$$

Для функций /20/, удовлетворяющих условию /22/, тождество /31/ принимает вид

$$\left( a_2 \frac{da_1}{dR} - a_1 \frac{da_2}{dR} \right) + \left( b_2 \frac{db_1}{dR} - b_1 \frac{db_2}{dR} \right) + 2Q(a_1 b_2 - a_2 b_1) = 0. \quad / 32 /$$

Соотношение /32/ может быть использовано для проверки правильности выполнения численного интегрирования. В качестве линейно независимых решений уравнений /21/ можно, например, выбрать решения, задаваемые при  $\lambda = 0$ <sup>x/</sup> условиями:

$$\begin{aligned} \text{I} \quad & \begin{cases} a(0) = b(0) = 0 \\ a'(0) = b'(0) = 1 \end{cases} & g - h = 0 & ; \\ & g' = \sqrt{2}; \quad h' = 0 & & ; \end{cases} \quad / 33 /$$

$$\begin{aligned} \text{II} \quad & \begin{cases} a(0) = b(0) = 0 \\ a'(0) = -b'(0) = 1 \end{cases} & g = h = 0 & ; \\ & g' = 0; \quad h' = \sqrt{2} & & ; \end{cases} \quad / 34 /$$

### Сечения перезарядки

Пусть в области энергий  $E' \geq \frac{1}{2} \rho E$  решения /20/, задаваемые условиями соответственно /24/ и /25/, имеют при  $R \rightarrow \infty$  вид

$$\begin{aligned} \text{I} \quad & \begin{cases} a_L^{(1)} \approx a_0^{(1)} \sin(\kappa_1 R - \frac{\pi L}{2} + \gamma_1) \\ b_L^{(1)} \approx b_0^{(1)} \sin(\kappa_1 R - \frac{\pi L}{2} + \delta_1) \end{cases} & \text{II} \quad & \begin{cases} a_L^{(2)} \approx a_0^{(2)} \sin(\kappa_2 R - \frac{\pi L}{2} + \gamma_2) \\ b_L^{(2)} \approx b_0^{(2)} \sin(\kappa_2 R - \frac{\pi L}{2} + \delta_2), \end{cases} \quad / 35 / \end{aligned}$$

<sup>x/</sup> Поскольку функции  $a(\lambda)$  и  $b(\lambda)$  экспоненциально затухают внутрь потенциальных барьеров при  $\lambda \rightarrow 0$  можно при численном интегрировании без заметной ошибки задавать условия (33, 34) для некоторого малого  $\lambda \neq 0$  ( $\lambda_0 = 0,2$ ). Это соответствует замене потенциалов

$E_g + \frac{1}{2M_{12}} K_{gg}$  и  $K E_u + \frac{1}{2M_{12}} K_{uu}$  на бесконечные стенки при  $\lambda = \lambda_0$ .

где константы  $\alpha_0^{(1)}, \beta_0^{(1)}$  определяются в результате численного интегрирования /21/. Согласно /32/ между коэффициентами и фазами /35/ имеет место связь

$$K_1 \alpha_0^{(1)} \alpha_0^{(2)} \sin \gamma_{21} + K_2 \beta_0^{(1)} \beta_0^{(2)} \sin \delta_{21}, \quad /36/$$

где

$$\gamma_{21} = \gamma_2 - \gamma_1; \quad \delta_{21} = \delta_2 - \delta_1. \quad /37/$$

Составляя из /35/ линейную комбинацию, удовлетворяющую условиям /33/, /34/ и нормировке при  $R \rightarrow \infty$ , получим

$$\alpha \approx \frac{\alpha e^{i(\kappa R - \frac{\pi L}{2})} - e^{-i(\kappa R - \frac{\pi L}{2})}}{2i\kappa}, \quad /38/$$

$$\beta(R) \approx - \frac{N_1 N_2 \sin \delta}{(N_2 e^{-i\delta_1} - N_1 e^{i\gamma_2 + i\delta}) \kappa} e^{i(\kappa R - \frac{\pi L}{2} + \delta_2)},$$

где

$$N_1 = \frac{\beta_1}{\alpha_0}; \quad N_2 = \frac{\beta_2}{\alpha_0}; \quad \alpha = \frac{N_2 e^{i\gamma_1} - N_1 e^{i\gamma_2 + i\delta}}{N_2 e^{-i\delta_1} - N_1 e^{-i\delta_2}}. \quad /39/$$

Согласно общей теории неупругих соударений /Ландау/ эффективное сечение перезарядки, соответствующее парциальной волне  $L$ :

$$\sigma_{L \text{ переч.}} = \frac{\pi}{\kappa_i^2} (2L+1) (1 - |\alpha|)^2 = \quad /40/$$

$$= 4\pi (2L+1) \frac{N_1^2 N_2^2 \sin^2 \delta_{12}}{N_1^2 + N_2^2 - 2N_1 N_2 \cos(\gamma_{21} - \delta_{21})} \cdot \frac{K_2}{K_1^3},$$

а сечение упругого рассеяния:

$$\begin{aligned} \sigma_{L \text{ упр.}} &= \frac{\pi}{\kappa_i^2} (2L+1) |1 - \alpha|^2 = \\ &= 4\pi (2L+1) \frac{N_1^2 \sin^2 \gamma_2 + N_2^2 \sin^2 \gamma_1 - 2N_1 N_2 \sin \gamma_1 \sin \gamma_2 \cos \delta_{21}}{N_1^2 + N_2^2 - 2N_1 N_2 \cos(\gamma_{21} - \delta_{21})} \cdot \frac{1}{K_1^2}. \end{aligned} \quad /41/$$

Поскольку столкновения происходят при тепловых энергиях, то практически наиболее важен случай, когда кинетическая энергия более легкого мезоатома значительно меньше  $\Delta E$  ( $\kappa \ll 1$ ). В этом случае наиболее существенно рассеяние в  $S$ -состоянии. В области  $1 \ll R \ll \frac{1}{\kappa}$  решения /35/ для  $L=0$  принимают вид:

$$\begin{aligned} I & \left\{ \begin{array}{l} a_1^{(1)}(R) \approx e_1^{(1)}R + C_2^{(1)} \\ b_0^{(1)}(R) \approx C_3^{(1)} \sin(\kappa_2^0 R + \delta_2^{(1)}) \end{array} \right. & II & \left\{ \begin{array}{l} a_1^{(2)} \approx C_1^{(2)}R + C_2^{(2)} \\ b_0^{(2)} \approx e_3^{(2)} \sin(\kappa_2^0 R + \delta_2^{(2)}) \end{array} \right. \end{aligned} \quad /42/$$

$$\kappa_2^0 = \sqrt{2M_{12} \Delta E};$$

а условие /36/ дает:

$$C_1^{(1)}C_2^{(1)} - C_2^{(1)}C_1^{(2)} + \kappa_2^0 C_3^{(1)}C_3^{(2)} \sin(\delta_2^{(2)} - \delta_2^{(1)}) = 0$$

Линейная комбинация, /38/, удовлетворяющая условию /42/ и соответствующим образом нормированная, имеет вид:

$$a \approx R + \frac{\beta_1 \gamma_2 - \gamma_1 \beta_2 e^{i\delta_2^{(1)}}}{\gamma_2 - \gamma_1 e^{i\delta_2^{(1)}}}; \quad /43/$$

$$b \approx -\frac{\gamma_1 \gamma_2 \sin \delta_2^{(1)}}{\gamma_2 - \gamma_1 e^{i\delta_2^{(1)}}} e^{i(\kappa_2^0 R + \delta_2^{(1)})},$$

где

$$\beta_i = \frac{C_2^{(i)}}{C_1^{(i)}}; \quad \gamma_i = \frac{C_3^{(i)}}{C_1^{(i)}}; \quad \delta_{2i}^{(i)} = \delta_2^{(i)} - \delta_1^{(i)}.$$

Сечение перезарядки равно:

$$\sigma_{\text{перез.}} = \frac{1}{4\pi} \frac{\kappa_2^0}{\kappa_1} \frac{\gamma_1^2 \gamma_2^2 \sin^2 \delta_{21}}{\gamma_1^2 + \gamma_2^2 - 2\gamma_1 \gamma_2 \cos \delta_{21}} = \frac{1}{4\pi} f a_\mu^2 \frac{V_0}{V}; \quad /44/$$

а сечение упругого рассеяния:

$$\sigma_{\text{упр.}} = \frac{1}{4\pi} \frac{\beta_1^2 \gamma_2^2 + \gamma_1^2 \beta_2^2 - 2\beta_1 \beta_2 \gamma_1 \gamma_2 \cos \delta_{21}}{\gamma_1^2 + \gamma_2^2 - 2\gamma_1 \gamma_2 \cos \delta_{21}} a_\mu^2. \quad /45/$$

Если  $V_1$  относительная скорость частиц,  $N_2$  число ядер изотопа с массой  $M_2$ , то вероятность перезарядки в единицу времени:

$$W = N_2 \delta_{\text{перез.}} \cdot v = 4\pi v_i^* \frac{\gamma_1^2 \gamma_2^2 \sin^2 \delta_{21}^P}{\gamma_1^2 + \gamma_2^2 - 2\gamma_1 \gamma_2 \cos \delta_{21}^P} a_\mu^2 N_2 \quad /46/$$

$$v_i^* = \sqrt{\frac{2\Delta E}{m}} ; \quad a_\mu = \frac{\hbar^2}{m_\mu e^2}.$$

В таблице 1 приведены значения  $v_i^*$ ,  $\delta_{\text{перез.}}$  и  $f$  для систем протон-дейtron, протон-тритий и дейtron-тритий.

Сечение рассеяния и волновые функции при рассеянии тяжелого мезоатома на ядрах легкого изотопа

В области энергий  $-\frac{1}{2}\Delta E \leq E' \leq \frac{1}{2}\Delta E$  в случае малой концентрации тяжелого изотопа водорода чаиболее существенным процессом является упругое рассеяние тяжелых мезоатомов на ядрах легкого изотопа, а в дальнейшем, после замедления мезоатома, — образование мезомолекул.

Пусть решения, полученные путем численного интегрирования /21/ с граничными условиями соответственно /28/ и /26/, имеют при  $R \rightarrow \infty$  вид:

$$\alpha_L^{(1)}(R) \approx d_{L1}^{(1)} e^{-\kappa L R} + d_{L2}^{(1)} e^{\kappa L R}; \quad \alpha_L^{(2)}(R) \approx d_{L1}^{(2)} e^{-\kappa L R} + d_{L2}^{(2)} e^{\kappa L R}$$

$$\beta_L^{(1)}(R) \approx d_{L3}^{(1)} \sin(\kappa_2 R - \frac{\pi L}{2} + \omega^{(1)}); \quad \beta_L^{(2)} \approx d_{L3}^{(2)} \sin(\kappa_2 R - \frac{\pi L}{2} + \omega^{(2)}) \quad /47/$$

Составляя из /47/ линейную комбинацию, удовлетворяющую условию, получим с точностью до постоянного множителя

$$\beta_L(R) \approx \sin(\kappa_2 R - \frac{\pi L}{2} + \omega)$$

$$\alpha_L(R) \approx \frac{d_{L1}^{(1)} d_{L2}^{(2)} - d_{L2}^{(1)} d_{L1}^{(2)}}{T} e^{-\kappa L R} \quad /48/$$

где

$$\operatorname{tg} \omega = \frac{d_{L3}^{(1)} d_{L2}^{(2)} \sin \omega^{(1)} - d_{L3}^{(2)} d_{L2}^{(1)} \sin \omega^{(2)}}{d_{L3}^{(1)} d_{L2}^{(2)} \cos \omega^{(1)} - d_{L3}^{(2)} d_{L2}^{(1)} \cos \omega^{(2)}} \quad /49/$$

$$T^2 = [d_{L3}^{(1)} d_{L2}^{(2)}]^2 + [d_{L3}^{(2)} d_{L2}^{(1)}]^2 - 2 d_{L2}^{(1)} d_{L2}^{(2)} d_{L3}^{(1)} d_{L3}^{(2)} \cos(\omega^{(2)} - \omega^{(1)}).$$

Парциальное сечение, соответствующее  $L$  волне, равно

$$\zeta_L = \frac{4\pi}{\kappa^2} (2L+1) \sin^2 \omega = \frac{4\pi}{\kappa^2} (2L+1) \cdot \frac{[d_{L3}^{(1)} d_{L2}^{(2)} \sin \omega^{(1)} - d_{L3}^{(2)} d_{L2}^{(1)} \sin \omega^{(2)}]}{T^2}. \quad /50/$$

Наиболее важно для дальнейшего знать волновые функции и эффективное сечение рассеяния в случае малой кинетической энергии мезоатома /  $\kappa_z \ll 1$ .

В области  $R_0 \ll R \ll \frac{1}{\kappa_z}$  решения /47/ для  $S$ -волн могут быть представлены в виде

$$a_s^{(1)} \approx d_1^{(1)} e^{-x_0^0 R} + d_2^{(1)} e^{x_0^0 R}; \quad /51/$$

$$b_s^{(1)} \approx R + D^{(1)}; \quad x_0^0 = \sqrt{2M_{12}\Delta E}.$$

Линейная комбинация /51/, удовлетворяющая условию /26/ в области  $R_0 \ll R \ll \frac{1}{\kappa_z}$  имеет вид:

$$a \approx \frac{D^{(2)} - D^{(1)}}{2x_0^0(d_2^{(1)} - d_2^{(2)})} e^{-x_0^0 R}; \quad /52/$$

$$b \approx R + \frac{D^{(1)}d_2^{(2)} - D^{(2)}d_2^{(1)}}{d_2^{(2)} - d_2^{(1)}}.$$

Нормировка функций /52/ выбрана так, что она соответствует при  $R \rightarrow \infty$  плоской волне относительного движения ядер / с коэффициентом единица / и  $\mu^-$  мезону, находящемуся у более тяжелого ядра. В таблице У представлены волновые функции  $a(R)$  и  $b(R)$  для систем протон-дейtron, протон-тритий

и дейтрон-тритий. Эффективное сечение рассеяния мезоатомов более тяжелых изотопов на ядрах более легких при малой кинетической энергии мезоатомов равно:

$$\mathcal{Z} = \frac{1}{4\pi} \left| \frac{\mathcal{D}^{(1)} d_2^{(1)} - \mathcal{D}^{(2)} d_2^{(2)}}{d_2^{(1)} - d_2^{(2)}} \right|^2 = \frac{4\lambda^2 a_m^2}{\delta_{\text{упр}}} \quad /53/$$

Значения  $\delta$  и  $\lambda$  приведены в таблице 11. Отметим, что в случае процесса  $d_m + p \rightarrow d_m + p$   $\delta_{\text{упр}}$  не является аномально малым, как это указано в <sup>/11/</sup>. Длина пробега  $\ell$  атома  $d_m$ , получившегося в результате перезарядки, может быть определена по формуле

$$\ell = \frac{1}{\kappa N \delta_{\text{упр}}} \ln \frac{E_1}{E_2}, \quad /54/$$

где  $\kappa = \frac{2M_{12}}{M_1 + M_2} = \frac{4}{9}$  — средняя доля передаваемой при столкновении  $d_m + p$  энергии,  $N = 4 \cdot 10^{22}$ ;  $E_1 = 45 \text{ eV}$  — энергия, приобретенная мезоатомом  $d_m$  при перезарядке,  $E_2 \sim 2 \cdot 10^{-4} \text{ eV}$  — конечная /тепловая/ энергия. /При этом в грубом приближении считается, что  $d_m$  движется по прямой, так как отклонение  $d_m$  при столкновении с протоном не может превышать в лабораторной системе координат  $30^\circ$ . Величина пробега согласно /54/ составляет  $\ell \sim 0,1 \text{ мм}$  /пробег за счет диффузии  $d_m$  при тепловой энергии тоже порядка  $0,1 \text{ мм}$ /, что по-видимому, меньше наблюдавшейся на опыте "щели", величина которой около 1 мм.

#### Уровни энергий мезомолекул

Пусть в области энергий  $E' < -\frac{1}{2} \Delta E$  решения уравнений /21/ при начальных условиях соответственно /33/ и /34/ имеют для  $\pi \rightarrow \infty$  следующий вид:

$$Q_i(\pi) \approx F_i^{(i)}(E') e^{-x_i \pi} + F_i^{(ii)}(E') e^{x_i \pi} \quad /55/$$

$$\beta_i(\pi) \approx F_3^{(i)}(E') e^{-x_2 \pi} + F_4^{(ii)}(E') e^{x_2 \pi}$$

Тогда, составляя линейную комбинацию, можно добиться исключения растущих экспонент при условии:

$$\begin{vmatrix} \mathcal{F}_2^{(1)}(E') & \mathcal{F}_2^{(2)}(E') \\ \mathcal{F}_4^{(1)}(E') & \mathcal{F}_4^{(2)}(E') \end{vmatrix} = 0 \quad /56/$$

Условие /56/ определяет уровни энергии мезомолекул. Проводя численное интегрирование системы /21/ для различных  $E'$ , можно подобрать значения  $E'$ , удовлетворяющие условию /56/. Полученные таким образом уровни энергии мезомолекул указаны в таблице 111. На рис. 1 приведены значения функций  $\alpha(\pi)$  и  $\beta(\pi)$  для связанного состояния  $E = 98 \text{ ev}$  мезомолекулы, нормированные условием

$$\int_0^{\infty} (|\alpha(\pi)|^2 + |\beta(\pi)|^2) d\pi = 1. \quad /57/$$

#### Уровни энергии мезомолекул с одинаковыми ядрами

Как уже отмечалось выше, для мезомолекул с одинаковыми ядрами система распадается на два независимых уравнения. Эффективные потенциалы взаимодействия с поправками, учитывающими движение ядер <sup>x/</sup>  $E_g' + \frac{1}{2M_2} K_{gg}'$ , с хорошей точностью аппроксимируются известной функцией Морза:

$$U = A [e^{-2\zeta(\pi-\pi_0)} - 2e^{-\zeta(\pi-\pi_0)}]. \quad /58/$$

Значения эффективных потенциалов взаимодействия представлены в /8, 13/, там же указаны параметры функций Морза, осуществляющих аппроксимацию. Отклонения функции Морза от истинных значений эффективных потенциалов взаимодействия не могут существенно изменить величину уровней, так как эти отклонения заметны лишь в тех областях /при очень больших и при очень

<sup>x/</sup> Ср. с /18/, где аппроксимация проводилась без учета поправок на движение ядер.

маленьких  $\mathcal{R}$ , где волновые функции экспоненциально спадают. Величины уровней приведены в таблице 111.

Рассеяние мезоатомов на ядрах тождественных ядру мезоатома

Для малых энергий относительного движения ( $\kappa \mathcal{R}_0 \ll 1$ ) нетрудно вычислить эффективное сечение рассеяния мезоатомов на ядрах того же изотопа<sup>x/</sup>. Для  $E' > 0$  решение уравнения Шредингера с потенциалом /58/ имеет вид:

$$g = e^{-\frac{\xi}{2}} i \left[ \left\{^{i\alpha} e^{-i\varphi} F \left( -\frac{\sqrt{2M_n A}}{\alpha} + \frac{1}{2} + i\alpha ; 1+2i\alpha ; \right) - \right. \right. \\ \left. \left. - \left\{^{i\alpha} e^{i\varphi} F \left( -\frac{\sqrt{2M_n A}}{\alpha} + \frac{1}{2} - i\alpha ; 1-2i\alpha ; \right) \right\} \right], \quad /59/$$

где

$$\left\{ \approx \frac{2\sqrt{M_n A}}{\alpha} e^{-\alpha \mathcal{R}} ; \alpha = \frac{\sqrt{2M E'}}{\alpha} = \frac{K}{\alpha} ; e^{2i\varphi} = \frac{\Gamma(1+2i\alpha)}{\Gamma(1-2i\alpha)} \frac{\Gamma(-\frac{\sqrt{2M A}}{\alpha} + \frac{1}{2} - i\alpha)}{\Gamma(-\frac{\sqrt{2M A}}{\alpha} + \frac{1}{2} + i\alpha)} \right. \quad /59a/$$

При  $\mathcal{R} \rightarrow \infty$  ( $\{\rightarrow 0\}$ ) это решение асимптотически равно:

$$g \approx \sin \left( \kappa r - \frac{\kappa \ln 2 \sqrt{\frac{2M A}{\alpha}}}{\alpha} - \kappa R_0 + \varphi \right) \quad /60/$$

Если энергия относительного движения достаточно мала ( $\kappa \mathcal{R}_0 \ll 1$ ), то в области  $\mathcal{R}_0 \ll \mathcal{R} \ll \frac{1}{\kappa}$

$$g \sim \mathcal{R} - \lambda_g \quad /61/$$

<sup>x/</sup> Энергия относительного движения должна быть вместе с тем значительно больше энергии сверхтонкого расщепления в мезоатоме /что составляет в случае атома  $\rho_m$  приблизительно 0,2 eV/. Эффекты при более низкой энергии рассмотрены в /1/.

Длина рассеяния  $\lambda_g$  может быть получена из /64a/, /65/:

$$\lambda_g = \left\{ \Psi \left( -\frac{\sqrt{2M\beta}}{\alpha} + \frac{1}{2} \right) - 2\Psi(1) + \ell_n \frac{2\sqrt{2M\beta}}{\alpha} \right\} \frac{\alpha}{2M\beta} + R_0, \quad /62/$$

где  $\Psi(x) = \frac{\Gamma'(x)}{\Gamma(x)}$ . Отметим, что, если величина  $\left( \frac{\sqrt{2M\beta}}{\alpha} - \frac{1}{2} \right)$  близка к целому числу /это соответствует наличию у мезомолекулы уровня реального или виртуального с энергией, близкой к 0/, то, благодаря наличию полюсов у функции  $\Psi(x)$  при целых отрицательных  $x$ , значение  $\lambda_g$  может быть весьма велико. Возможность такого резонанса была замечена [2].

Решение второго из уравнений /21/ может быть также легко получено, если потенциал  $V_u = \left\{ E'_u(\bar{R}) + \frac{1}{2m} K_{uu}(\bar{R}) \right\}$  аппроксимирован экспонентой:

$$V_u = \bar{R} e^{-\frac{\alpha}{\beta}\bar{R}}, \quad /63/$$

что можно сделать с хорошей точностью в области существенных для рассеяния значений  $\bar{R}$ . Уравнение Шредингера с потенциалом /63/ путем введения новой переменной сводится к уравнению Бесселя от мнимого аргумента.

Таким образом, для  $E' = 0$

$$h(\bar{R}) = \frac{2}{\beta} K_0 \left( \frac{2\sqrt{2M\beta}}{\beta} e^{-\frac{\alpha}{\beta}\bar{R}} \right),$$

где  $K_0$  функция Ганкеля от мнимого аргумента. Нормировка функции  $h(\bar{R})$  выбрана так, чтобы при  $\bar{R} \rightarrow \infty$  решение имело вид:

$$h(\bar{R}) \approx \bar{R} - \lambda_u \quad /64/$$

учитывая, что при  $t \rightarrow 0$   $K_0(t) \rightarrow \ln \frac{2}{t} - C$ , где  $C = 0,577$  – постоянная Эйлера/ получим

$$\lambda_u = \frac{2}{\beta} \left[ C + \ln \frac{\sqrt{2M\beta}}{\beta} \right]. \quad /65/$$

Учитывая, что мезонная функция  $\Sigma_g(\vec{z}, \bar{R})$  симметрична относительно перестановки ядер, а  $\Sigma_u(\vec{z}, \bar{R})$  – антисимметрична, можно заключить, что в  $S$  волне относительное движение тождественных ядер будет описываться функцией  $g(\bar{R})$ , если суммарный спин ядер четный, и функцией  $h(\bar{R})$  – если суммарный спин ядер нечетный. Эффективное сечение рассеяния мезоатомов

водорода на протонах /и мезоатомов трития на ядрах трития/ при малых энергиях должно иметь вид:

$$\delta = 2\pi \left( \frac{1}{4} \frac{\lambda_3^2}{1 + \kappa^2 \lambda_3^2} + \frac{3}{4} \frac{\lambda_u^2}{1 + \kappa^2 \lambda_u^2} \right) \quad /66/$$

в то время, как для рассеяния мезоатомов дейтерия на дейтронах:

$$\delta = 2\pi \left( \frac{2}{3} \frac{\lambda_3^2}{1 + \kappa^2 \lambda_3^2} + \frac{1}{3} \frac{\lambda_u^2}{1 + \kappa^2 \lambda_u^2} \right) \quad /67/$$

Формула /66/ аналогична формуле для рассеяния нейtronов на протонах. При больших  $\lambda_g$  согласно /66/ будет резонанс в рассеянии при  $\kappa \rightarrow 0$ . Члены  $\kappa^2 \lambda^2$  в /66/ записаны для большей аналогии с известной дейтронной формулой; учет их представляет по существу превышение точности, так как  $\lambda_u$  соответствует отталкиванию и должно по порядку величины совпадать с радиусом действия сил:  $\lambda_u \approx R_0$ . Это как раз имеет место в рассеянии  $p_n + p \rightarrow p_m + p$ , поскольку мезомолекула  $(pp)_m$  имеет виртуальный уровень с энергией близкой к  $0$ . Эффективное сечение рассеяния  $p_n + p$ , вычисленное согласно /66/, хорошо совпадает с сечением, приведенным в /7/. В рассеянии  $d_n + d$  сечение, вычисленное по /67/, оказывается в два раза больше приведенного в работе /7/.

### Образование мезомолекул

Двигаясь в веществе, мезоатомы водорода в силу своей нейтральности могут свободно проходить через электронные оболочки молекул водорода и, приближаясь к ядрам, образовывать мезомолекулы, точнее мезомолекулярные ионы  $(pp)_m^+$ ;  $(pd)_m^+$  и т.д. /наподобие известных молекулярных ионов  $H_2^+$ ;  $HD^+$  и т.п./. Энергия связи мезомолекулы, в принципе, может быть отдана излучению, электрону оболочки, а также ядру, связанному химическими силами с тем, которые образуют мезомолекулу. Последний переход, однако, может иметь какое-либо значение только в случае, когда мезомолекула образуется в состоянии с очень маленькой энергией связи /порядка энергии связи обычной молекулы/. Как видно из таблицы 111 это условие не выполняется ни для одной из молекул /за исключением быть может  $(dd)_m^+$ /.

Поскольку размеры мезомолекул меньше атомных, соотношения между вероятностями образования мезомолекулы радиационным путем и путем отдачи энергии электрону оболочки, могут быть выражены с помощью стандартной теории внутренней конверсии электронов при ядерных переходах. Для рассматриваемой области передаваемых энергий /десятки, сотни  $eV$ / коэффициенты внутренней конверсии весьма велики; поэтому, вероятность радиационного образования мезомолекул несравненно меньше конверсионной. Поскольку образование мезомолекул происходит при малых относительных энергиях мезоатомов, наиболее существенным будет электрический дипольный переход из  $S$  волны сплошного спектра с конверсией на электроне; пусть  $\rho_1, \rho_2, \rho_m$  — расстояния, соответственно, от ядер  $M_1, M_2$  и  $m$  — мезона до произвольной точки; тогда кулоновское поле системы на больших расстояниях имеет вид:

$$\frac{e}{\rho_1} + \frac{e}{\rho_2} - \frac{e}{\rho_m} \approx \frac{e}{\rho} + \frac{\vec{d} \cdot \vec{\rho}}{\rho^3}, \quad /68/$$

где  $\rho$  — расстояние от центра тяжести ядер, а  $\vec{d}$  — дипольный момент системы:

$$\vec{d} = -\frac{e}{2} \frac{M_2 - M_1}{M_2 + M_1} \vec{R} - \frac{e}{2} (\vec{z}_1 + \vec{z}_2) \quad /69/$$

$$\vec{R} = \vec{R}_2 - \vec{R}_1; \quad \vec{z}_1 = \vec{z} - \vec{R}_1; \quad \vec{z}_2 = \vec{z} - \vec{R}_2.$$

Если в качестве волновых функций электрона взять точные кулоновские функции атома водорода, то аналогично вероятности конверсии при ядерном переходе получим для вероятности образования мезомолекулы путем дипольной конверсии:

$$W = \frac{16}{3} \cdot \frac{1}{\hbar \alpha_e^3} \cdot \frac{2\pi \rho^2 e^{-4\rho \arccos \gamma}}{(1+\rho^2)(1-e^{-2\pi \rho})} \sum_{M_e} |\langle d \rangle|^2, \quad /70/$$

где  $\alpha_e = \frac{\hbar^2}{m_e e^2}; \quad \gamma = \frac{e^2}{\hbar v_e}$  /  $m_e, v_e$  — масса и скорость/  $N$  — число ядер в см<sup>3</sup>,  $\langle d \rangle$  — матричный элемент дипольного момента, взятый между волновыми функциями мезомолекулы, принадлежащим соответственно сплошному и дискретному спектру

$$\langle d \rangle = \int \Psi_{mol}^* d \Psi_{mol} \quad (d \mathcal{R}) (dz_m) \quad /71/$$

/интегрирование проводится в /71/ по координатам  $\mu^-$ -мезона и ядер/. Интегрирование по мезонным координатам в /71/ приводит к интегралу:

$$d_{gu} = \int \sum_g \frac{1}{2} (z_1 + z_2) \sum_u (dz_m). \quad /72/$$

Из соображений симметрии ясно, что  $d_{gu}$  направлен по  $\mathcal{R}$ :  $d_{gu} = \gamma(\mathcal{R}) \mathcal{R}$ , где  $\gamma(\mathcal{R})$  некоторая функция  $\mathcal{R}$ . В приближении

$$\gamma(\mathcal{R}) = -\frac{1}{2} \frac{1}{\sqrt{1 - e^{-2\mathcal{R}} (1 + \mathcal{R} + \mathcal{R}^2/3)^2}} \approx -\frac{1}{2}. \quad /73/$$

Приближение LCAO несправедливо при малых  $\mathcal{R}$ , однако, ясно, что поскольку функция  $H(\mathcal{R})$ , соответствующая состоянию отталкивания  $\sum_u$ , при малых  $\mathcal{R}$  экспоненциально спадает, малые  $\mathcal{R}$  вносят незначительный вклад в матричный элемент  $\langle d \rangle$ . Отметим, что приближение  $\gamma = -\frac{1}{2}$  хорошо выполняется и при малых  $\mathcal{R}$ , если вычисление  $d_{gu}$  проводить с точными функциями  $\sum_g, \sum_u$ <sup>16</sup>. Суммирование в /70/ проводится по всем возможным конечным состояниям мезомолекулы. При вычислении предполагается, что нормировка волновой функции сплошного спектра выбрана так, что на бесконечности есть плоская волна с коэффициентом единица, а волновая функция дискретного спектра, естественно, нормирована на единицу. При этом матричный элемент  $\langle d \rangle$  будет иметь размерность  $e a_\mu \%$  ( $a_\mu = \hbar^2/m_\mu e^2$ ). Выделяя размерный множитель, удобно переписать формулу /70/ в виде

$$W = \frac{16}{3} (Na_e^3) \left( \frac{m_e}{m_\mu} \right)^5 \cdot \frac{e^2}{\hbar a_e} \cdot \frac{2\pi r^2 e^{-4\pi r t g \varphi}}{(1 + r^2)(1 - e^{-2\pi r})} \left\{ \sum_u | \langle d \rangle |^2 \right\}, \quad /74/$$

где матричный элемент  $\langle d \rangle$  вычислен в безразмерных /"мезоатомных"/ единицах. Легко заметить, что первый член в дипольном моменте /69/ имеет отлич-

ные от нуля матричные элементы только для переходов с мезонными функциями одинаковой четности  $\Sigma_g \rightarrow \Sigma_g$ ,  $\Sigma_u \rightarrow \Sigma_u$ , в то время как второй член дает переходы только между мезонными функциями различной четности

$\Sigma_u \rightarrow \Sigma_g$ ;  $\Sigma_g \rightarrow \Sigma_u$ . Дипольные переходы из S волны сплошного спектра могут происходить только во вращательное состояние с  $L = 1$ . Из таблицы 111 видно, что для всех мезомолекул /кроме  $(tt)_m$ / переход осуществляется в основное вращательное состояние /  $L=1$ ;  $n=0$  /. Для мезомолекул  $(tt)_m$  возможен также переход в колебательно-вращательное состояние  $(L=1; n=1)$ . Вероятность образования мезомолекул с одинаковыми ядрами  $(dd)_m$ ;  $(tt)_m$  может быть вычислена аналогично тому, как это сделано для мезомолекул  $(pp)_m$  /13/. Вероятности образования этих молекул приведены в таблице 4. В случае мезомолекул с различными ядрами наибольший интерес представляет вычисление вероятности образования мезомолекулы, когда происходит столкновение мезоатома более тяжелого изотопа с более легким ядром, например,  $d_m + p \rightarrow (dp)_m$  /при столкновении  $p_m + d$  значительно более вероятным процессом является перезарядка  $p_m + d \rightarrow d_m + p$  /. Волновая функция начального состояния имеет вид:

$$\Psi_{mol}^{(i)} = \Psi_o(\mathcal{R}) \Sigma_g + \Psi_u(\mathcal{R}) \Sigma_u, \quad 175/$$

где функции  $\Psi_o$ ,  $\Psi_u$  связаны с функциями  $a_o(\mathcal{R})$ ,  $b_o(\mathcal{R})$ , соотношением /20/. Волновая функция конечного состояния, соответствующая вращательному уровню мезомолекулы с  $L = 1$ , имеет вид:

$$\Psi_{mol}^f = \left\{ g_1(\mathcal{R}) \Sigma_g + h_1(\mathcal{R}) \Sigma_u \right\} \frac{1}{\mathcal{R}} Y_{1,m}(\theta, \varphi). \quad 176/$$

Проводя интегрирование по углам и суммирование по  $M_1$ , получим в мезоатомных единицах

$$\sum_M |\langle d \rangle|^2 = \frac{4\pi}{(M_1 + M_2)^2} \left| \int_0^\infty \left\{ M_1 a_o(\mathcal{R}) a_1(\mathcal{R}) - M_2 b_o(\mathcal{R}) b_1(\mathcal{R}) \right\} \mathcal{R} d\mathcal{R} \right|^2. \quad 177/$$

Интегралы в 177/ вычислены численно. Вероятности образования мезомолекул  $(pd)_m$ ;  $(pt)_m$ ;  $(dt)_m$ , найденные согласно 177/ и 174/, указаны в таблице 4.

ПРИЛОЖЕНИЕ

Функции  $K_{gg}(\mathcal{R})$  и  $K_{uu}(\mathcal{R})$  вычислены в <sup>15/</sup> с помощью точных волновых функций  $\sum_g$  и  $\sum_u$ , приведенных в <sup>14/</sup>. Приведем для сравнения значения  $K_{gg}(\mathcal{R})$  и  $K_{uu}(\mathcal{R})$ , вычисленные в приближении  $(LCAO)$ , справедливом для больших  $\mathcal{R}$ .

$$\sum_g = \left\{ 2\pi(1+s) \right\}^{-\frac{1}{2}} (e^{-z_1} + e^{-z_2}).$$

Д.1

$LCAO$

$$\sum_u = \left\{ 2\pi(1-s) \right\}^{-\frac{1}{2}} (e^{-z_1} - e^{-z_2})$$

Д.2

$$s = (1 + \mathcal{R} + \frac{\mathcal{R}^2}{3}) e^{-\mathcal{R}}$$

и в приближении  $UR$ , справедливом при малых  $\mathcal{R}$ , когда  $\sum_g$  и  $\sum_u$  переходят соответственно в  $1s$  и  $2p$ , уровни  $He$

$$\sum_g = \frac{1}{N_g} e^{-(z_1 + z_2)}$$

Д.3

$$\sum_u = -\frac{1}{N_u} e^{-\frac{1}{2}(z_1 + z_2)} (z_1 \cos \theta, -z_2 \cos \theta)$$

$$N_g^2 = \frac{\pi}{8} e^{-2\mathcal{R}} (1 + 2\mathcal{R} + \frac{4}{3}\mathcal{R}^2)$$

Д.4

$$N_u^2 = 4\pi \left( 1 + \mathcal{R} + \frac{9}{20}\mathcal{R}^2 + \frac{7}{60}\mathcal{R}^3 + \frac{1}{60}\mathcal{R}^4 \right) e^{-\mathcal{R}}.$$

Д.4'

В приближении  $LCAO$ :

$$K_{gg} = \frac{1}{2} - \frac{s}{2(1+s)} - \frac{1}{36} \frac{\mathcal{R}^2 (1+\mathcal{R})^2}{(1+s)^2} e^{-2\mathcal{R}}$$

Д.5

$$K_{uu} = \frac{1}{2} + \frac{s}{2(1-s)} - \frac{1}{36} \frac{\mathcal{R}^2 (1+\mathcal{R})^2}{(1-s)^2} e^{-2\mathcal{R}}$$

Д.5'

В приближении И.А

$$K_{gg} = 1 - \left( \frac{N_g'}{N_g} \right)^2 \underset{R \rightarrow 0}{\approx} 1 - \frac{16}{9} R^2 \quad \text{Д.8}$$

$$K_{uu} = \frac{2}{R^2} + \frac{1}{4} - \left( \frac{N_u'}{N_u} \right)^2 \underset{R \rightarrow 0}{\approx} \frac{2}{R^2} + \frac{1}{4}. \quad \text{Д.8'}$$

Для сравнения на рис. 2, 3 представлены значения  $K_{gg}$  и  $K_{uu}$ , вычисленные в <sup>/15/</sup>, и согласно аппроксимации LCAO и И.А.

Для величины  $Q(R)$  вычисления дают:

$$(LCAO) \quad Q = - \frac{M_2 - M_1}{M_2 + M_1} \cdot \frac{R(R+1)e^{-R}}{6\sqrt{1-5^2}}$$

$$(И.А) \quad Q = - \frac{M_2 - M_1}{M_2 + M_1} \cdot \frac{16\pi}{81} \frac{e^{-\frac{3R}{2}}}{N_g N_u} \left( 1 + \frac{3}{2}R + \frac{3}{4}R^2 \right).$$

Отметим, что  $Q$ , вычисленное согласно (LCAO), при  $R \rightarrow 0$  довольно хорошо совпадает со значением  $Q$ , вычисленным согласно (И.А)  $R \rightarrow 0$ ,

$$Q_{LCAO} \rightarrow - \left( \frac{M_2 - M_1}{M_2 + M_1} \right) \frac{1}{2\sqrt{3}} = -0,289 \frac{M_2 - M_1}{M_2 + M_1}$$

$$Q_{И.А} \rightarrow - \left( \frac{M_2 - M_1}{M_2 + M_1} \right) \frac{16\sqrt{2}}{81} = -0,28 \frac{M_2 - M_1}{M_2 + M_1}.$$

Таким образом, во всей области  $R$  можно принять аппроксимацию  $Q = Q_{LCAO}$ .

Величины  $K_{gu}(R)$  и  $K_{ug}(R)$  в аппроксимации (LCAO) и (И.А) соответственно равны:

$$\frac{W^2 + W}{W^2 - W} \approx 0,05 \pi \frac{35}{8\sqrt{2}} \leftarrow K_{g_n}(u)$$

$$\frac{W^2 + W}{W^2 - W} \approx 0,67 \pi \frac{18}{\pi\sqrt{3}} \leftarrow K_{g_n}(LCAO)$$

$$\frac{W^2 + W}{W^2 - W} \approx 1,12 \frac{18}{\pi\sqrt{2}} \leftarrow K_{g_n}(u)$$

$$\frac{W^2 + W}{W^2 - W} \approx 1,15 \frac{1}{\pi\sqrt{2}} \leftarrow K_{g_n}(LCAO)$$

Линейное сближение огибающей при  $\pi \rightarrow 0$

$$\left\{ \frac{16}{3}\pi + \frac{8}{3}\pi^2 + \right.$$

$$+ \left( 2\pi \frac{4}{3} + 2\pi \frac{2}{3} + 1 \right) \frac{6N}{N\pi} \cdot \frac{18}{64\pi} \cdot \frac{W^2 + W}{W^2 - W} = K_{g_n}$$

$$K_{g_n} = \frac{1}{W^2 - W} \cdot \frac{64\pi}{\pi^2 - 3\pi} \cdot \frac{18}{N\pi} \cdot \frac{W^2 + W}{W^2 - W}$$

: (2n)

$$\frac{W^2 + W}{W^2 - W} \left\{ e^{-\frac{(s+1)\pi}{2}} \left( 1 + \pi - \frac{\pi^2}{2} \right) - \left( \frac{\pi}{2} - 1 + \pi \right) e^{-\frac{s\pi}{2}} \right\} \frac{2\sqrt{1-s^2}}{1} = K_{g_n}$$

$$\frac{W^2 + W}{W^2 - W} \left\{ \frac{1}{1-s^2} \left( 1 + \pi - \frac{\pi^2}{2} \right) - \frac{\pi^2}{2} \left( 1 + \pi \right)^2 e^{-2\pi} \right\} = K_{g_n}$$

: (LCAO)

Л и т е р а т у р а

1. F.C.Frank, Nature I60, 525 (1947).
2. Я.Б.Зельдович, ДАН , 95, 493 /1954/.
3. А.Д.Сахаров, отчет ФИАН /1948/.
4. L.W.Alwarez atal. Phys.Rev. I05, II25 (1957).
5. A.Ashmore, R.Nordhagen, K.Strauch, B.M.Tawnes, Proc.Phys.Soc. 7I, I6I (1958).
6. С.С.Герштейн. ЖЭТФ, т.34, вып. 2, стр.163 /1958/.
7. В.Б.Беляев и Б.Н.Захарьев. ЖЭТФ, т.35, вып. 4, стр.98 /1958/.
8. Я.Б.Зельдович, С.С.Герштейн. ЖЭТФ, 35, 3/9/, 821 /1958/.
9. Я.Б.Зельдович, А.Д.Сахаров. ЖЭТФ, т.32, вып. 4, 847 /1957/.
10. С.С.Герштейн. ДАН, 117, № 6 /1957/.
11. S.Cohen, D.L.Judd, R.T.Riddel, Phys.Rev. I10 n.6, 147I (1958).
12. Shimizu, Mizuno, Izyuyama. Progr.Theor.Phys.v.20,n.5,777 (1958).
13. Я.Б.Зельдович, С.С.Герштейн. ЖЭТФ, 35, 849 /1958/.
14. Bates D.R., K.Ledsham and A.L.Stewart, Phil.Trans.Roy.Soc. 246, n.9II (1953).
15. Dalgarno, at.al., Proc.Roy.Soc. v.237, 383 (1956).
16. Dalgarno, Pots. Proc.Phys.Soc. A 67, 349 (1954).
17. Teller, Zeit. für Phys. 6I, 458 (1930).
18. S.Gallone, G.M.Prósperi, A.Scatti N.C, v. 6 I (1957).
19. Skyrme T.H.R.Phil. Mag. v.2 , I9, 9I0 (1957).
20. Marschall, Schmidt, Z.f:Phys. I50, 293 (1958).

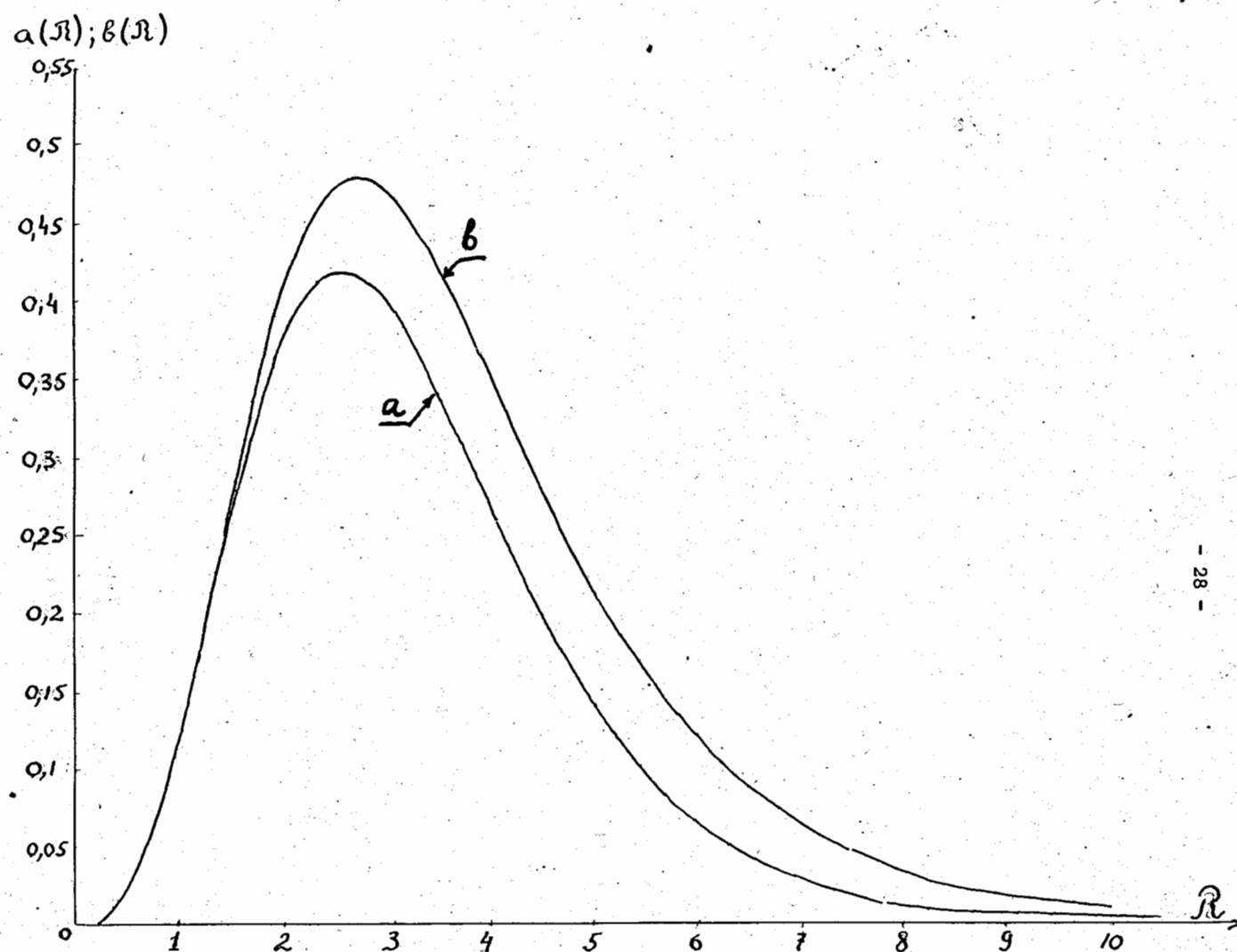


Рис. 1. Волновые функции мезомолекулярного иона  $(pt)_\mu$ , соответствующие уровню 98 eV. Функции приведены для иллюстрации качественного поведения  $a(R)$  и  $b(R)$  для дискретных значений  $E$ . /Точные значения функций даны в табл. У/.

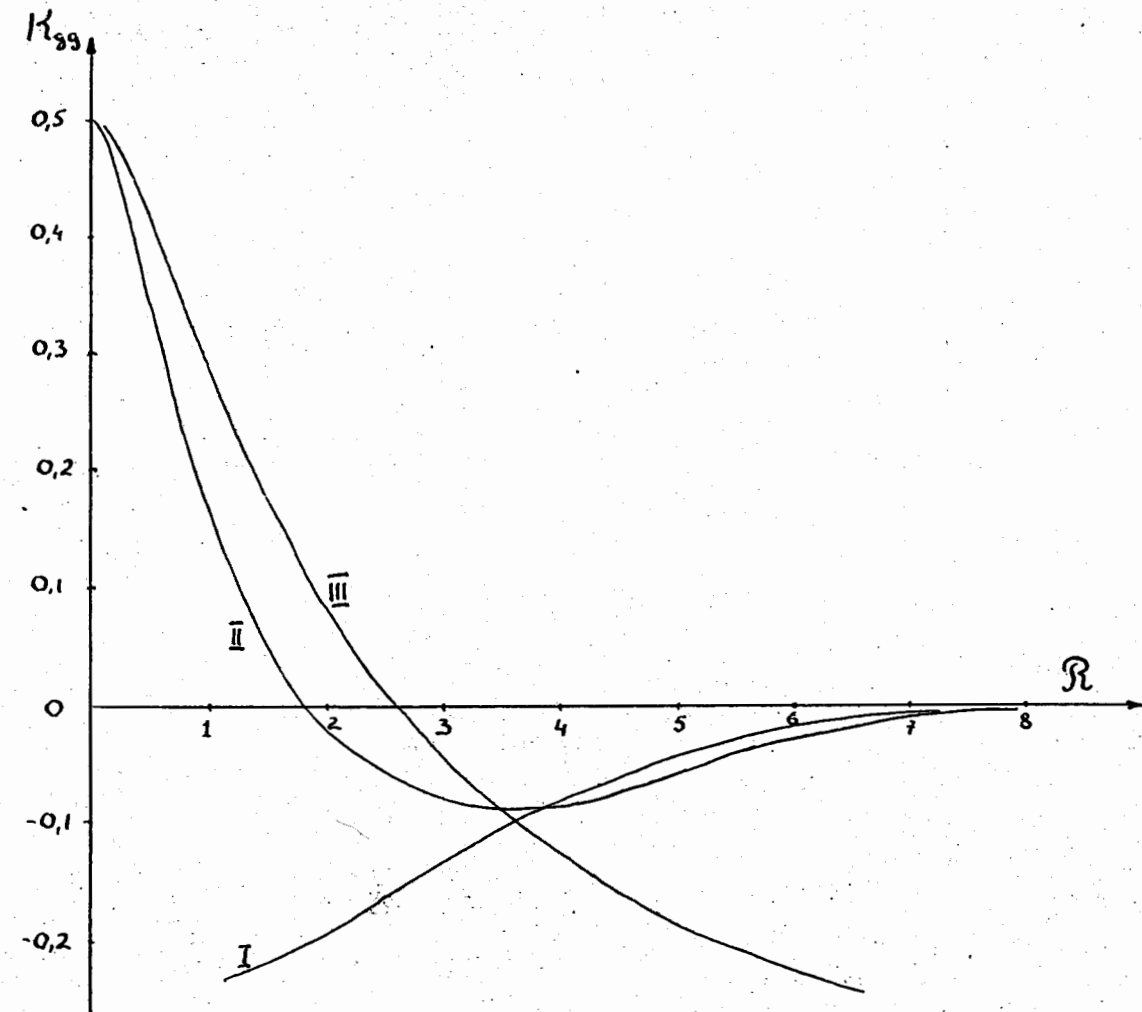


Рис. 2. Функция  $K_{qg}$  вычисленная: I - в приближении (ЛСАО);  
II - по точным функциям [15]; III - в приближении (УА).

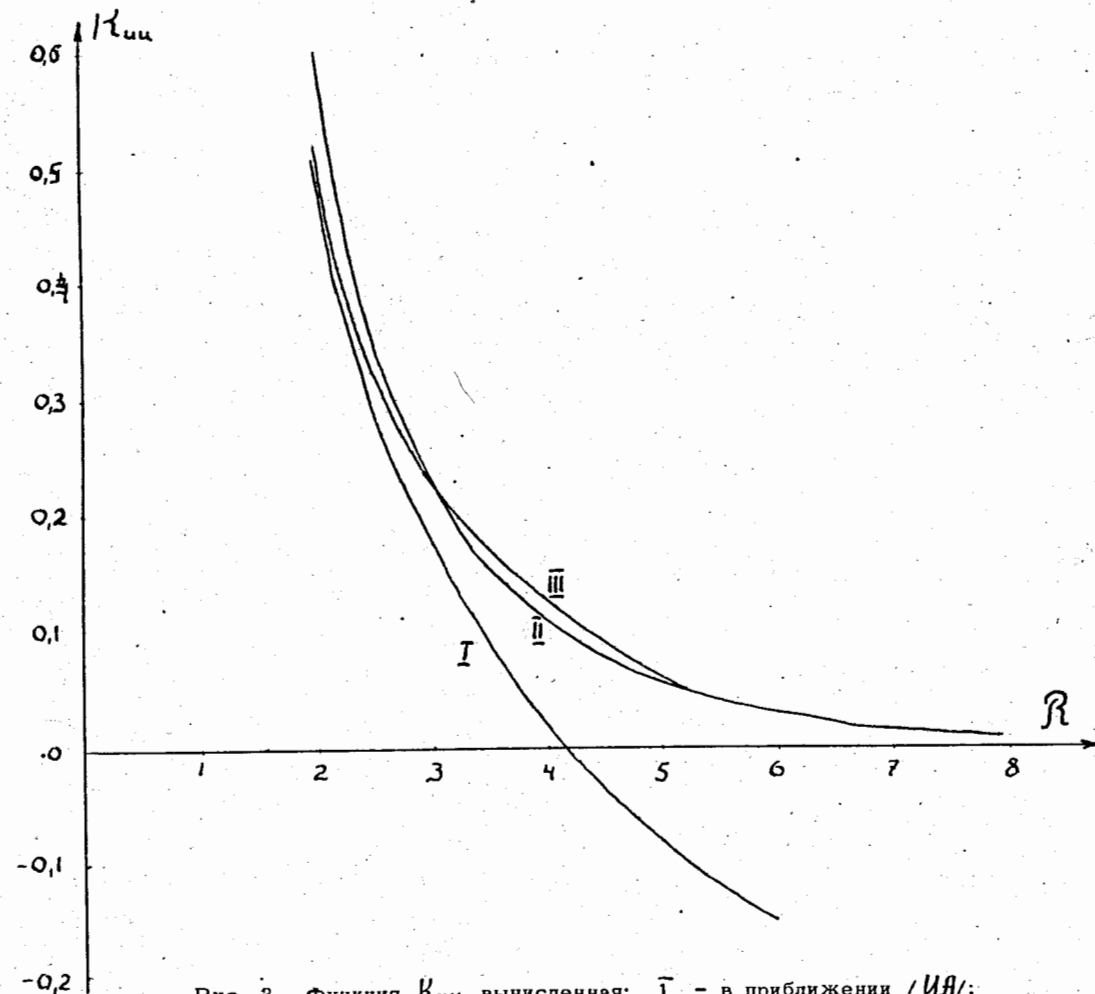


Рис. 3. Функция  $K_{uu}$ , вычисленная: I - в приближении /ИЯ/;  
II - в приближении (LCAO); III - по точным  
функциям [15].

Таблица 1

Сечения перезарядки и упругого рассеяния

|                       | $\rho_m + d$   | $\rho_m + t$   | $d_m + t$  |
|-----------------------|--|--|--|
| $\sigma_{ex} \cdot v$ | $3,42 \cdot 10^{-13} \frac{\text{см}^3}{\text{сек}}$ | $1,49 \cdot 10^{-13} \frac{\text{см}^3}{\text{сек}}$ | $1,15 \cdot 10^{-15} \frac{\text{см}^3}{\text{сек}}$ |
| $\sigma_{upr}$        | $1,98 \cdot 10^{-19} \text{см}^2$                    | $1,53 \cdot 10^{-19} \text{см}^2$                    | $2,41 \cdot 10^{-19} \text{см}^2$                    |

Таблица 11

Сечения упругого рассеяния мезоатомов

|                   | $d_m + p \rightarrow d_m + p$     | $t_m + p \rightarrow t_m + p$        | $t_m + d \rightarrow t_m + d$     |
|-------------------|-----------------------------------|--------------------------------------|-----------------------------------|
| $\lambda$         | 2,03                              | $2,66^{x/}$                          | 6,7                               |
| $\sigma_{upr}(0)$ | $3,39 \cdot 10^{-20} \text{см}^2$ | $5,84 \cdot 10^{-20} \text{см}^2 x/$ | $36,9 \cdot 10^{-20} \text{см}^2$ |

x/ Величины получены при  $K_{gg} = 0$ . Вычисления с правильным  $K_{gg}$  дали для  $\lambda$  значение  $\sim 10$ , что кажется нам сомнительным.

Таблица 111

Уровни молекул в  $eV$

/ Для мезомолекул с различными ядрами уровни энергии отсчитываются от уровня более тяжелого изотопа/.

|            | $L=0$ | $L=1$ | $L=2$ | $L=3$ |
|------------|-------|-------|-------|-------|
|            | $n=0$ | $n=1$ | $n=0$ | $n=1$ |
| $(pp)_m^+$ | 252   | -     | 109   | -     |
| $(dd)_m^+$ | 330   | 40    | 227   | 7     |
| $(tt)_m^+$ | 367   | 86    | 288   | 45    |
| $(pd)_m^+$ | 220   | -     | 90    | -     |
| $(pt)_m^+$ | 213   | -     | 98    | -     |
| $(dt)_m^+$ | 318   | 32    | 232   | -     |
|            |       |       | 102   | -     |

Таблица 1У

Вероятности образования молекул в единицах  $10^6 \text{ сек}^{-1}$  в жидким водороде.

| $(pp)_m^+$ | $(dd)_m^+$ | $(tt)_m^+$ | $(pd)_m^+$ | $(dt)_m^+$ | $(pt)_m^+$ |
|------------|------------|------------|------------|------------|------------|
| 1,53       | 0,006      | 0,38       | 0,7        | ~0,001     | 0,25       |

В данной работе вероятности образования мезомолекул следует рассматривать только по порядку величины, так как при вычислении не учитывалась связь ядер водорода в молекулах  $H_2$ , что, по-видимому, приводит к увеличению  $W$ .

В случае мезомолекулярного иона  $(dd)_m^+$  и  $(dt)_m^+$  из-за наличия близкого к нулю колебательного уровня  $1 \leftarrow L = 0$  в вероятность образования молекул могут дать вклад 0-0 переходы.

В только что полученном авторами препринте Коэна, Юдда и Ридделя волновая функция при вычислении вероятности образования мезомолекул с одинаковыми ядрами нормирована на  $\sqrt{2}$ , а не на 1, что завышает вдвое  $W$ .

Таблица V

Волновые функции мезомолекулярных ионов (ненормированные) в состояниях с  $L = 1$

| n   | $(pd)_m^+$            |                       | $(pt)_m^+$            |                       | $(dt)_m^+$             |                       | R   |
|-----|-----------------------|-----------------------|-----------------------|-----------------------|------------------------|-----------------------|-----|
|     | Уровень 90 eV         | Уровень 98 eV         | Уровень 98 eV         | Уровень 232 eV        | Уровень 232 eV         | Уровень 232 eV        |     |
| 0,3 | $0,114 \cdot 10^{-2}$ | $0,110 \cdot 10^{-2}$ | $0,116 \cdot 10^{-2}$ | $0,109 \cdot 10^{-2}$ | $+0,772 \cdot 10^{-3}$ | $0,823 \cdot 10^{-3}$ | 0,3 |
| 0,5 | $0,530 \cdot 10^{-2}$ | $0,516 \cdot 10^{-2}$ | $0,554 \cdot 10^{-2}$ | $0,531 \cdot 10^{-2}$ | $0,427 \cdot 10^{-2}$  | $0,420 \cdot 10^{-2}$ | 0,5 |
| 0,7 | $0,132 \cdot 10^{-1}$ | $0,130 \cdot 10^{-1}$ | $0,141 \cdot 10^{-1}$ | $0,137 \cdot 10^{-1}$ | $0,122 \cdot 10^{-1}$  | $0,121 \cdot 10^{-1}$ | 0,7 |
| 0,9 | $0,256 \cdot 10^{-1}$ | $0,254 \cdot 10^{-1}$ | $0,277 \cdot 10^{-1}$ | $0,273 \cdot 10^{-1}$ | $0,246 \cdot 10^{-1}$  | $0,260 \cdot 10^{-1}$ | 0,9 |
| I,1 | $0,423 \cdot 10^{-1}$ | $0,424 \cdot 10^{-1}$ | $0,462 \cdot 10^{-1}$ | $0,462 \cdot 10^{-1}$ | $0,464 \cdot 10^{-1}$  | $0,462 \cdot 10^{-1}$ | I,1 |
| I,3 | $0,625 \cdot 10^{-1}$ | $0,632 \cdot 10^{-1}$ | $0,687 \cdot 10^{-1}$ | $0,697 \cdot 10^{-1}$ | $0,718 \cdot 10^{-1}$  | $0,719 \cdot 10^{-1}$ | I,3 |
| I,5 | $0,849 \cdot 10^{-1}$ | $0,869 \cdot 10^{-1}$ | $0,936 \cdot 10^{-1}$ | $0,964 \cdot 10^{-1}$ | 0,100                  | 0,101                 | I,5 |
| I,7 | 0,I08                 | 0,II2                 | 0,II9                 | 0,I25                 | 0,I29                  | 0,I31                 | I,7 |
| I,9 | 0,I30                 | 0,I37                 | 0,I44                 | 0,I53                 | 0,I56                  | 0,I59                 | I,9 |
| 2,I | 0,I51                 | 0,I60                 | 0,I65                 | 0,I79                 | 0,I79                  | 0,I83                 | 2,I |
| 2,3 | 0,I68                 | 0,I81                 | 0,I83                 | 0,202                 | 0,I96                  | 0,202                 | 2,3 |
| 2,5 | 0,I82                 | 0,I98                 | 0,I97                 | 0,221                 | 0,207                  | 0,214                 | 2,5 |
| 2,7 | 0,I91                 | 0,IIII                | 0,206                 | 0,235                 | 0,2I3                  | 0,219                 | 2,7 |
| 2,9 | 0,I97                 | 0,22I                 | 0,2I0                 | 0,245                 | 0,2I0                  | 0,2I9                 | 2,9 |
| 3,I | 0,I98                 | 0,226                 | 0,2I0                 | 0,250                 | 0,203                  | 0,2I3                 | 3,I |
| 3,3 | 0,I96                 | 0,228                 | 0,205                 | 0,25I                 | 0,I93                  | 0,204                 | 3,3 |
| 3,5 | 0,I9I                 | 0,226                 | 0,I98                 | 0,249                 | 0,I79                  | 0,I9I                 | 3,5 |
| 3,5 | 0,I84                 | 0,22I                 | 0,I89                 | 0,243                 | 0,I64                  | 0,I76                 | 3,7 |
| 3,9 | 0,I75                 | 0,2I5                 | 0,I77                 | 0,234                 | 0,I48                  | 0,I60                 | 3,9 |
| 4,I | 0,I64                 | 0,206                 | 0,I64                 | 0,224                 | 0,I3I                  | 0,I43                 | 4,I |
| 4,3 | 0,I52                 | 0,I96                 | 0,I5I                 | 0,2I2                 | 0,II5                  | 0,I27                 | 4,3 |
| 4,5 | 0,I40                 | 0,I84                 | 0,I37                 | 0,200                 | 0,I00                  | 0,III                 | 4,5 |
| 4,7 | 0,I28                 | 0,I73                 | 0,I24                 | 0,I87                 | $0,866 \cdot 10^{-1}$  | $0,969 \cdot 10^{-1}$ | 4,7 |
| 4,9 | 0,II6                 | 0,I6I                 | 0,III                 | 0,I73                 | $0,74I \cdot 10^{-1}$  | $0,838 \cdot 10^{-1}$ | 4,9 |
| 5,I | 0,I04                 | 0,I49                 | $0,989 \cdot 10^{-1}$ | 0,I6I                 | $0,630 \cdot 10^{-1}$  | $0,719 \cdot 10^{-1}$ | 5,I |
| 5,3 | $0,935 \cdot 10^{-1}$ | 0,I37                 | $0,875 \cdot 10^{-1}$ | 0,I48                 | $0,532 \cdot 10^{-1}$  | $0,614 \cdot 10^{-1}$ | 5,3 |
| 5,5 | $0,833 \cdot 10^{-1}$ | 0,I26                 | $0,770 \cdot 10^{-1}$ | 0,I36                 | $0,447 \cdot 10^{-1}$  | $0,52I \cdot 10^{-1}$ | 5,5 |
| 5,7 | $0,738 \cdot 10^{-1}$ | 0,II5                 | $0,673 \cdot 10^{-1}$ | 0,I25                 | $0,373 \cdot 10^{-1}$  | $0,440 \cdot 10^{-1}$ | 5,7 |
| 5,9 | $0,650 \cdot 10^{-1}$ | 0,I05                 | $0,586 \cdot 10^{-1}$ | 0,II4                 | $0,310 \cdot 10^{-1}$  | $0,37I \cdot 10^{-1}$ | 5,9 |
| 6,0 | $0,609 \cdot 10^{-1}$ | 0,I0C                 | $0,546 \cdot 10^{-1}$ | 0,I09                 | $0,283 \cdot 10^{-1}$  | $0,340 \cdot 10^{-1}$ | 6,0 |
| 6,2 | $0,534 \cdot 10^{-1}$ | $0,908 \cdot 10^{-1}$ | $0,47I \cdot 10^{-1}$ | $0,993 \cdot 10^{-1}$ | $0,233 \cdot 10^{-1}$  | $0,279 \cdot 10^{-1}$ | 6,2 |
| 6,4 | $0,465 \cdot 10^{-1}$ | $0,822 \cdot 10^{-1}$ | $0,404 \cdot 10^{-1}$ | $0,905 \cdot 10^{-1}$ | $0,193 \cdot 10^{-1}$  | $0,237 \cdot 10^{-1}$ | 6,4 |
| 6,6 | $0,403 \cdot 10^{-1}$ | $0,742 \cdot 10^{-1}$ | $0,344 \cdot 10^{-1}$ | $0,823 \cdot 10^{-1}$ | $0,158 \cdot 10^{-1}$  | $0,197 \cdot 10^{-1}$ | 6,6 |
| 6,8 | $0,348 \cdot 10^{-1}$ | $0,669 \cdot 10^{-1}$ | $0,290 \cdot 10^{-1}$ | $0,749 \cdot 10^{-1}$ | $0,129 \cdot 10^{-1}$  | $0,164 \cdot 10^{-1}$ | 6,8 |
| 7,0 | $0,299 \cdot 10^{-1}$ | $0,60I \cdot 10^{-1}$ | $0,242 \cdot 10^{-1}$ | $0,68I \cdot 10^{-1}$ | $0,106 \cdot 10^{-1}$  | $0,135 \cdot 10^{-1}$ | 7,0 |
| 7,2 | $0,255 \cdot 10^{-1}$ | $0,539 \cdot 10^{-1}$ | $0,198 \cdot 10^{-1}$ | $0,618 \cdot 10^{-1}$ | $0,865 \cdot 10^{-2}$  | $0,III \cdot 10^{-1}$ | 7,2 |
| 7,4 | $0,216 \cdot 10^{-1}$ | $0,483 \cdot 10^{-1}$ | $0,158 \cdot 10^{-1}$ | $0,562 \cdot 10^{-1}$ | $0,70I \cdot 10^{-2}$  | $0,910 \cdot 10^{-2}$ | 7,4 |
| 7,6 | $0,18I \cdot 10^{-1}$ | $0,432 \cdot 10^{-1}$ | $0,122 \cdot 10^{-1}$ | $0,5II \cdot 10^{-1}$ | $0,569 \cdot 10^{-2}$  | $0,738 \cdot 10^{-2}$ | 7,6 |
| 7,8 | $0,150 \cdot 10^{-1}$ | $0,385 \cdot 10^{-1}$ | $0,880 \cdot 10^{-2}$ | $0,464 \cdot 10^{-1}$ | $0,45I \cdot 10^{-2}$  | $0,596 \cdot 10^{-2}$ | 7,8 |
| 8,0 | $0,122 \cdot 10^{-1}$ | $0,342 \cdot 10^{-1}$ | $0,557 \cdot 10^{-2}$ | $0,422 \cdot 10^{-1}$ | $0,38I \cdot 10^{-2}$  | $0,478 \cdot 10^{-2}$ | 8,0 |
| 8,5 | $0,677 \cdot 10^{-2}$ | $0,253 \cdot 10^{-1}$ | $0,136 \cdot 10^{-2}$ | $0,333 \cdot 10^{-1}$ | $0,212 \cdot 10^{-2}$  | $0,253 \cdot 10^{-2}$ | 8,5 |

Таблица V (продолжение)

Волновые функции системы трех частиц. Мезоатом с более тяжелым ядром рассеивается на ядре легкого изотопа при нулевой энергии.

|     | $d_\mu + p$            | $t_\mu + p$            | $t_\mu + d$            |                        |                        |                        |     |
|-----|------------------------|------------------------|------------------------|------------------------|------------------------|------------------------|-----|
| $R$ | $a(R)$                 | $\ell(R)$              | $a(R)$                 | $\ell(R)$              | $a(R)$                 | $\ell(R)$              | $R$ |
| 0,3 | $-0,469 \cdot 10^{-2}$ | $-0,454 \cdot 10^{-2}$ | $-0,110 \cdot 10^{-1}$ | $-0,104 \cdot 10^{-1}$ | $-0,824 \cdot 10^{-2}$ | $-0,808 \cdot 10^{-2}$ | 0,3 |
| 0,5 | $-0,181 \cdot 10^{-1}$ | $-0,178 \cdot 10^{-1}$ | $-0,435 \cdot 10^{-1}$ | $-0,423 \cdot 10^{-1}$ | $-0,382 \cdot 10^{-1}$ | $-0,377 \cdot 10^{-1}$ | 0,5 |
| 0,7 | $-0,386 \cdot 10^{-1}$ | $-0,382 \cdot 10^{-1}$ | $-0,950 \cdot 10^{-1}$ | $-0,935 \cdot 10^{-1}$ | $-0,946 \cdot 10^{-1}$ | $-0,939 \cdot 10^{-1}$ | 0,7 |
| 0,9 | $-0,655 \cdot 10^{-1}$ | $-0,655 \cdot 10^{-1}$ | $-0,164$               | $-0,164$               | $-0,178$               | $-0,178$               | 0,9 |
| 1,1 | $-0,965 \cdot 10^{-1}$ | $-0,974 \cdot 10^{-1}$ | $-0,245$               | $-0,248$               | $-0,281$               | $-0,281$               | 1,1 |
| 1,3 | $-0,129$               | $-0,131$               | $-0,329$               | $-0,337$               | $-0,387$               | $-0,390$               | 1,3 |
| 1,5 | $-0,159$               | $-0,163$               | $-0,407$               | $-0,423$               | $-0,477$               | $-0,487$               | 1,5 |
| 1,7 | $-0,183$               | $-0,190$               | $-0,470$               | $-0,496$               | $-0,540$               | $-0,550$               | 1,7 |
| 1,9 | $-0,201$               | $-0,210$               | $-0,513$               | $-0,549$               | $-0,560$               | $0,573$                | 1,9 |
| 2,1 | $-0,210$               | $-0,221$               | $-0,532$               | $-0,576$               | $-0,533$               | $-0,55$                | 2,1 |
| 2,3 | $-0,210$               | $-0,222$               | $-0,526$               | $-0,577$               | $-0,462$               | $-0,480$               | 2,3 |
| 2,5 | $-0,202$               | $-0,213$               | $-0,498$               | $-0,549$               | $-0,353$               | $-0,371$               | 2,5 |
| 2,7 | $-0,186$               | $-0,195$               | $-0,449$               | $-0,496$               | $-0,217$               | $-0,233$               | 2,7 |
| 2,9 | $-0,163$               | $-0,168$               | $-0,385$               | $-0,420$               | $-0,661 \cdot 10^{-1}$ | $-0,772 \cdot 10^{-1}$ | 2,9 |
| 3,1 | $-0,137$               | $-0,135$               | $-0,310$               | $-0,325$               | $+0,892 \cdot 10^{-1}$ | $+0,847 \cdot 10^{-1}$ | 3,1 |
| 3,3 | $-0,107$               | $-0,948 \cdot 10^{-1}$ | $-0,229$               | $-0,215$               | $0,239$                | $0,242$                | 3,3 |
| 3,5 | $-0,754 \cdot 10^{-1}$ | $-0,508 \cdot 10^{-1}$ | $-0,145$               | $-0,940 \cdot 10^{-1}$ | $0,374$                | $0,385$                | 3,5 |
| 3,7 | $-0,440 \cdot 10^{-1}$ | $-0,378 \cdot 10^{-2}$ | $-0,631 \cdot 10^{-1}$ | $+0,341 \cdot 10^{-1}$ | $0,491$                | $0,510$                | 3,7 |
| 3,9 | $-0,136 \cdot 10^{-1}$ | $+0,451 \cdot 10^{-1}$ | $0,142 \cdot 10^{-1}$  | $0,166$                | $0,585$                | $0,610$                | 3,9 |
| 4,1 | $0,148 \cdot 10^{-1}$  | $0,948 \cdot 10^{-1}$  | $0,849 \cdot 10^{-1}$  | $0,299$                | $0,65$                 | $0,685$                | 4,1 |
| 4,3 | $0,407 \cdot 10^{-1}$  | $0,145$                | $0,147$                | $0,431$                | $0,70$                 | $0,734$                | 4,3 |
| 4,5 | $0,636 \cdot 10^{-1}$  | $0,194$                | $0,201$                | $0,561$                | $0,729$                | $0,757$                | 4,5 |
| 4,7 | $0,832 \cdot 10^{-1}$  | $0,242$                | $0,245$                | $0,687$                | $0,737$                | $0,757$                | 4,7 |
| 4,9 | $0,996 \cdot 10^{-1}$  | $0,289$                | $0,280$                | $0,808$                | $0,729$                | $0,737$                | 4,9 |
| 5,1 | $0,114$                | $0,334$                | $0,306$                | $0,925$                | $0,709$                | $0,698$                | 5,1 |
| 5,3 | $0,123$                | $0,378$                | $0,325$                | $1,04$                 | $0,679$                | $0,644$                | 5,3 |
| 5,5 | $0,130$                | $0,420$                | $0,337$                | $1,15$                 | $0,642$                | $0,577$                | 5,5 |
| 5,7 | $0,135$                | $0,461$                | $0,342$                | $1,25$                 | $0,600$                | $0,499$                | 5,7 |
| 5,9 | $0,138$                | $0,500$                | $0,343$                | $1,35$                 | $0,556$                | $0,413$                | 5,9 |
| 6,0 | $0,139$                | $0,519$                | $0,341$                | $1,40$                 | $0,533$                | $0,367$                | 6,0 |
| 6,2 | $0,139$                | $0,556$                | $0,335$                | $1,49$                 | $0,487$                | $0,270$                | 6,2 |
| 6,4 | $0,137$                | $0,593$                | $0,326$                | $1,58$                 | $0,443$                | $0,170$                | 6,4 |
| 6,6 | $0,134$                | $0,628$                | $0,314$                | $1,67$                 | $0,399$                | $0,653 \cdot 10^{-1}$  | 6,6 |
| 6,8 | $0,130$                | $0,662$                | $0,300$                | $1,75$                 | $0,358$                | $-0,421 \cdot 10^{-1}$ | 6,8 |
| 7,0 | $0,126$                | $0,696$                | $0,284$                | $1,84$                 | $0,319$                | $-0,151$               | 7,0 |
| 7,2 | $0,121$                | $0,729$                | $0,269$                | $1,92$                 | $0,284$                | $-0,262$               | 7,2 |
| 7,4 | $0,115$                | $0,761$                | $0,253$                | $1,99$                 | $0,251$                | $-0,374$               | 7,4 |
| 7,6 | $0,110$                | $0,793$                | $0,237$                | $2,08$                 | $0,221$                | $-0,486$               | 7,6 |
| 7,8 | $0,104$                | $0,824$                | $0,221$                | $2,15$                 | $0,194$                | $-0,599$               | 7,8 |

|      |                       |       |                       |      |                       |        |      |
|------|-----------------------|-------|-----------------------|------|-----------------------|--------|------|
| 8,0  | $0,981 \cdot 10^{-1}$ | 0,855 | 0,205                 | 2,23 | 0,I70                 | -0,712 | 8,0  |
| 8,5  | $0,844 \cdot 10^{-1}$ | 0,931 | 0,I71                 | 2,42 | 0,I20                 | -0,994 | 8,5  |
| 9,0  | $0,724 \cdot 10^{-1}$ | I,01  | 0,I42                 | 2,60 | $0,836 \cdot 10^{-1}$ | -I,27  | 9,0  |
| 9,5  | $0,623 \cdot 10^{-1}$ | I,08  | 0,II6                 | 2,78 | $0,571 \cdot 10^{-1}$ | -I,55  | 9,5  |
| 10,0 | $0,545 \cdot 10^{-1}$ | I,15  | $0,939 \cdot 10^{-1}$ | 2,95 | $0,385 \cdot 10^{-1}$ | -I,83  | 10,0 |
| 10,5 | $0,488 \cdot 10^{-1}$ | I,22  | $0,739 \cdot 10^{-1}$ | 3,I3 | $0,259 \cdot 10^{-1}$ | -2,II  | 10,5 |
| II,0 | $0,457 \cdot 10^{-1}$ | I,30  | $0,538 \cdot 10^{-1}$ | 3,3I | $0,176 \cdot 10^{-1}$ | -2,38  | II,0 |
| II,5 | $0,453 \cdot 10^{-1}$ | I,37  |                       |      | $0,122 \cdot 10^{-1}$ | -2,66  | II,5 |
| I2,0 | $0,476 \cdot 10^{-1}$ | I,44  |                       |      | $0,834 \cdot 10^{-2}$ | -2,94  | I2,0 |
|      |                       |       |                       |      | $0,388 \cdot 10^{-2}$ | -3,49  | I3,0 |